

表 1

e	$\sqrt{1-e^2}/(1-e)^2$
0.00	1.000
.05	1.107
.10	1.228
.15	1.368
.20	1.531
.25	1.721
.30	1.947
.35	2.217
.40	2.546

が、この 1.55 が 3/2 尽数関係と結び付くのではない。そして、もし水星の離心率が $e=0.30$ であつたら、表 1 から近日点角速度は $1.95n$ と求められるから、水星は 3/2 ではなくて 2/1 の尽数関係にあつたらうと予想するのである。いうまでもないことだが、 $1.55n$ の近日点角速度をそのまま自転角速度としたのでは

(このとき、水星の自転周期は 88 日の $1/1.55$ で 56.8 日となるが)、全く何の意味もない。つまり、もし水星の自転周期が 56.8 日なら、この自転周期は偶然だと考えるほかない、ということに注意しよう。尽数関係になれば、水星が近日点通過時(とその前後で)太陽に同じ面を向けたとしても、その後の近日点通過で再び前の状態が繰り返えされるわけにはいかないからである。逆に考えて、一般に子天体の自転周期が、近日点近傍における母天体の潮汐作用を仲介として、公転運動とのカプリングで決まったものなら、近日点を通るときにはいつでも、母天体に同じ面(結果的には子天体をラグビーボールとしたときの長軸)を向けているはずであり、つまり尽数関係が成立していることになる。

そうすると、今度は 1.55 が 3/2 と違うため、水星が近日点を通過するとき、自転と公転の角速度がその違いだけ違って、近日点通過の前後で、水星が太陽に同じ面を向け続けることができなのではないか、という危惧が生じるかも知れない。それならば、 $1.55n$ は近日点通過時の瞬間角速度に過ぎないのだから、いっそ角速度よりも角度そのもので比べようという気になる。表 2 は、離心率 e のケプラー運動における平均近点角 (l) と真近点角 (f) を示したものである。自転による回転角は時間と共に一様に増加し、従って平均近点角に比例することに注意しよう。一方、真近点角は公転運動における軌道上の位置をズバリ示すものである。そこで $\theta=f-\varphi$ 、 $\varphi \propto l$ なる θ を考えると、図 2 が示すように、 θ は近日点 M_1 で母天体 S を向いていた子天体の長軸 ↑ が、 M_2 で S から逸れる偏角を表わす。水星に対しては $e=0.206$ 、 $\varphi=(3/2)l$ であるから表 3 の結果となり、図示すれば図 3 となる。これらが示すように、近日点通過の前後かなりの間にわたって ($|f| \leq 50^\circ$)、水星の長軸は太陽の方向から 1° と逸れないことがわかる。つまり、先に角速度で危惧した 1.55 と 3/2 の違いが全く問題とならぬどころか、角速度を使った議

表 2

$l \setminus e$	0.05	0.10	0.15	0.20	0.25	0.30	0.35
0°	0:0	0:0	0:0	0:0	0:0	0:0	0:0
5	5.5	6.1	6.8	7.7	8.6	9.7	11.1
10	11.1	12.3	13.7	15.3	17.1	19.3	21.9
15	16.6	18.4	20.4	22.8	25.5	28.6	32.4
20	22.1	24.4	27.1	30.2	33.6	37.7	42.3
30	33.0	36.4	40.2	44.4	49.2	54.4	60.3
40	43.9	48.1	52.8	57.9	63.4	69.4	75.8
50	54.6	59.5	64.8	70.4	76.4	82.7	89.1
60	65.1	70.5	76.2	82.1	88.2	94.3	100.6

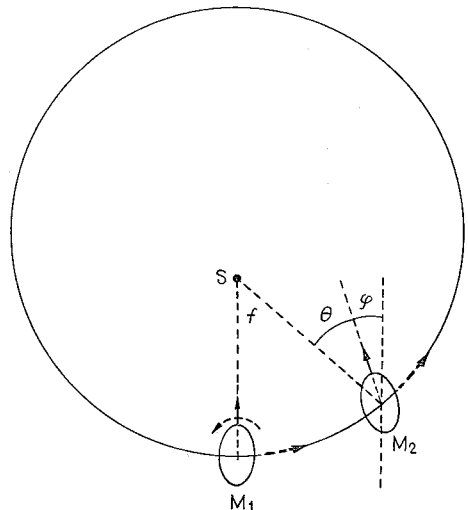


図 2

論では予想されないまい同期が行なわれているわけだ。もちろん $|f| > 60^\circ$ で長軸の方向は太陽から速やかに離れていくが、3/2 尽数関係にある限り、近日点側の同期はいつまでも崩れない。したがって、水星の自転周期は 87.97 日 (公転周期) $\times (2/3) = 58.65$ 日と考えた。比較のために月に対して同じことを考えれば、この場合は $\varphi=l$ で偏角 θ は中心差となり $2e \sin l + \frac{5}{4}e^2 \sin 2l + \dots$ で表わされる。 $e=0.055$ だと $l \sim f \sim 90^\circ$ で θ は最大値の 6° 余に達する。そこで月と水星を比べると、近日点の前後で長軸を母天体に向けて同期する様子は、 $|f| \leq 90^\circ$ の広範囲にわたって、よく似ていることがわかるのである。最近、火星探査機マリナー 9 号によって明

表 3

l	0°	5°	10°	15°	20°	30°	40°	50°	60°	90°
f	0.0	7.8	15.5	23.1	30.5	45.0	58.5	71.1	82.8	113.0
θ	0	0.3	0.5	0.6	0.5	0.0	-1.5	-3.9	-7.2	-22.0

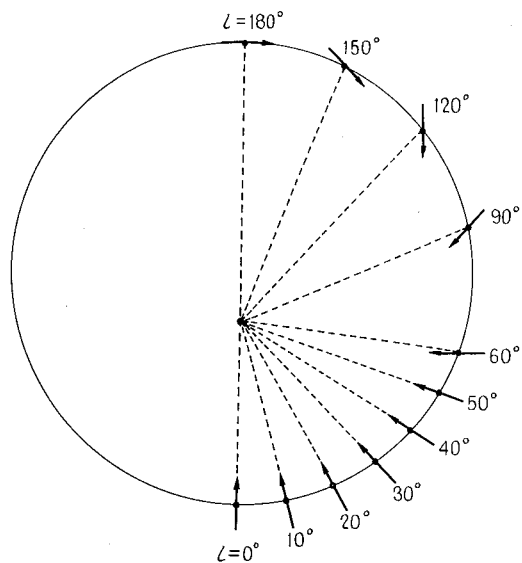


図 3

らかにされたところでは、火星の2個の衛星のうち、少くとも近いほうのフォボスは自転・公転が月と同じく1/1の共振関係にあるということだが、 $e=0.017$ を見れば頷けるところである。

ところで、現在3/2の共振関係にある水星において、この3/2は一時的のもので、最終的には自転のもっと遅い1/1の状態にまで進化するものである、という主張がある。たしかに太陽の潮汐作用は、弱いとはいえ遠日点の側でも働いており、また水星が剛体でないことも確かである。しかしもう一度図1を見ると、軌道の離心率が現状のまま1/1状態に移行するとはとても考えられない。それでは水星の自転が公転運動を干渉して、軌道離心率を0.2から0.05程度にまで減衰させられるのか、と考えると、これもおぼつかない。自転と公転のカップリングといっても、角運動量の圧倒的に大きい後者が前者に及ぼす一方的干渉に他ならないからである。従って水星の現状はそのまま進化の最終段階を示すものと、今のところ筆者は考えたい。

この辺で金星に移ろう。まず、金星の軌道離心率は0.007という小さい値だから、太陽と金星のみを考え、しかも金星の距離において太陽の潮汐作用が金星の自転に干渉し得ると考えるなら、金星はその公転周期を自転周期とするはずである。また、もしも金星の軌道離心率が0.3もあって、太陽に0.5AUくらいまで近づき、太陽の潮汐作用で、先ほども触れたように2/1の共振関係が成立するものなら、地球の存在にもかかわらず、成立したことであろう。現実には金星の離心率がほとんど0で、それに地球の存在が重なって、金星の自転運動に地球が一役買うこととなったものと考えられる。太陽と地

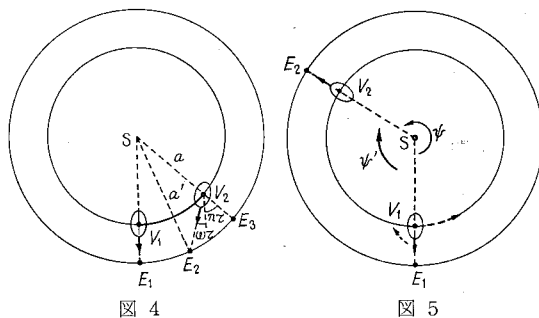


図 4

図 5

球とがそれぞれ金星に及ぼす潮汐作用は、強さにおいて前者が圧倒的であることは言うまでもない。

金星の自転運動のモデルとして図4を考えよう。 V_1 、 E_1 は合における金星、地球であり、 V_2 、 E_2 はそれから τ 日後の位置である。また金星、地球の平均運動をそれぞれ n 、 n' とし、金星の自転角速度を w （逆行で正）とする。さて、 $\triangle SV_2E_2$ に正弦定理を使って

$$\frac{\sin(n-n')\tau}{V_2E_2} = \frac{\sin \angle SV_2E_2}{a'} = \frac{\sin \angle E_3V_2E_2}{a'}$$

だが、 τ が十分小さければ、 $(n-n')\tau$ 、 $\angle E_3V_2E_2$ も小さく、 $\sin x \doteq x$ としてよいし、また $V_2E_2 \doteq a' - a$ としてよいから、

$$\angle E_3V_2E_2 = \frac{a'}{a' - a}(n - n')\tau$$

を得る。しかるに、

$$\angle E_3V_2E_2 = \omega\tau + n\tau$$

であり、結局

$$\omega = \frac{\angle E_3V_2E_2 - n\tau}{\tau} = \frac{na - n'a'}{a' - a} = \frac{\left(\frac{n}{n'}\right)^{1/3} - 1}{1 - \left(\frac{n}{n'}\right)^{-2/3}} n' \quad (1)$$

$$P_{\text{ROT}} = \frac{2\pi}{\omega} = \frac{1 - \left(\frac{P}{P'}\right)^{2/3}}{\left(\frac{P}{P'}\right)^{-1/3} - 1} P' \quad (2)$$

を得る。ここに P 、 P' はそれぞれ金星、地球の(対恒星)公転周期である。(1)の ω は、先の水星の場合で言えば近日点における瞬間角速度に対応するものであり、それから導かれる(2)の P_{ROT} は、先の56.8日に対応する。つまり、単に金星と地球とが合の瞬間(とその前後しばしの間)、金星が地球と同じ面を向けるための ω であり P_{ROT} である。だから(2)で $P'=1.000$ 、 $P=0.6152$ を代入して $P_{\text{ROT}}=1.5738$ (恒星年) $\doteq 574.8$ 日が観測値245日とぴったり一致しなくてもよいのである(といってもいささか離れ過ぎているが)。この場合でも優先されるのは何等かの共振関係である。

そこで、この場合の尺数関係のモデルを図5のように考えよう。図で V_1, E_1 は或る合に金星の長軸↑が地球を向いた瞬間であり、また V_2, E_2 はその次の合で、再び金星の長軸が地球を向く瞬間を表わしている。つまり、尺数関係が成立すればこの図ようになるのである。金星の自転は逆行で角速度は前と同じく ω とする。 n, n', P, P' など前と同じで、また P_{SYN} で金星と地球の会合周期 (=583.9日) を表わす。

図で SV_1 から SV_2 までを時計回りに測った角度を ϕ' 、反時計回りに測った角度を ϕ とすれば、もちろん $\phi' + \phi = 2\pi$

であるが、配置 SV_1E_1 から SV_2E_2 まで1会合周期だけ経過しているので、 $[x]$ で x の小数部を表わすことにすれば、 ϕ', ϕ は

$$\phi' = \left[\frac{\omega P_{SYN}}{2\pi} \right] 2\pi, \quad \phi = \left[\frac{n P_{SYN}}{2\pi} \right] 2\pi$$

のように表わされる。これらを (3) に代入し、 $2\pi/\omega = P_{ROT}$ 、 $2\pi/n = P$ に注意すれば、

$$\left[\frac{P_{SYN}}{P_{ROT}} \right] = 1 - \left[\frac{P_{SYN}}{P} \right]$$

したがって

$$P_{ROT} = \frac{P_{SYN}}{m - \left[\frac{P_{SYN}}{P} \right]} \quad (m=1, 2, 3, \dots) \quad (4)$$

を得る。ここに $m=1, 2, 3, \dots$ に従って P_{SYN}/P_{ROT} の整数部は $0, 1, 2, \dots$ である。この (4) は、図5の如き尺数関係が成立するための、3種の周期の間の関係式である。 $P_{SYN}=583.9$ 日、 $P=224.7$ 日を代入すれば表4の結果となる。先の(2)の与える574.8日を斟酌すれば $m=2$ に対応する416.6日を金星の自転周期を考えたいところだ。しかし先にも述べたように、現実の値は表4で $m=3$ に対応する243.15日である(観測値245日に基いて)。

表 4

m	P_{ROT} (日)
1	1455
2	416.6
3	243.15
4	171.66

この値を使って、合の前後における金星の自転・公転運動を示すと図6のようになる。図から見てとれるように、合の前後で金星が地球と同じ面を向けるためには、金星の自転がすこし速すぎるようだ。これは(2)の P_{ROT}

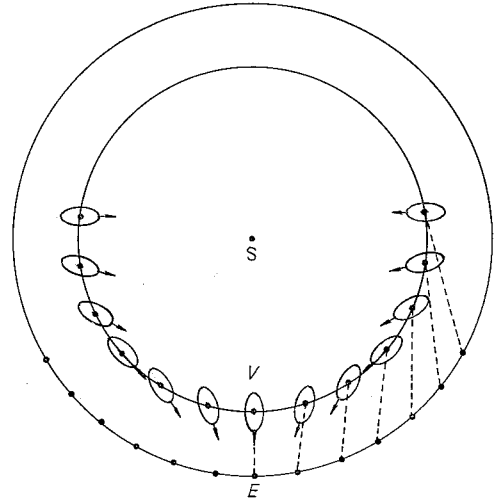


図 6

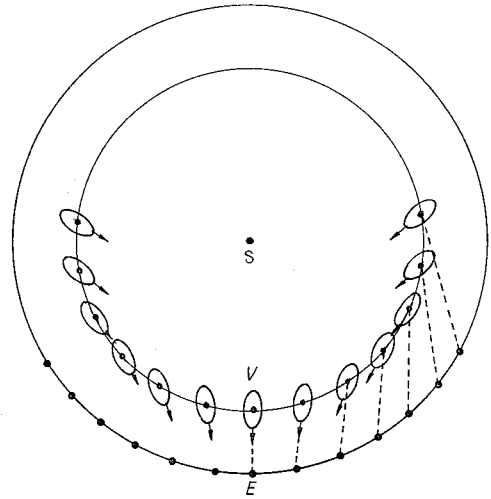


図 7

=574.8日 も示唆するところである。もしも $m=2$ に対応する値 416.6 日を使って図を作れば図7のようになり、図6と比べてこちらのほうがもっとよく同期していることがわかる。それではどうして $m=2$ でなく $m=3$ の尺数関係が実現されているのか、と問われると答えに窮するわけである。あるいは、水星の場合と違って、現実の $m=3$ モードはそれこそ一時的のもので、最終的には $m=2$ モードに移行していくのかも知れない。もしそうであるなら、過去には(逆行)自転速度のもっと速い $m=4$ モードの時期があったのかも知れない。